

УДК 539.43

ПОСТРОЕНИЕ РАСЧЕТНЫХ ЗАВИСИМОСТЕЙ МЕЖДУ НАПРЯЖЕНИЯМИ И ДЕФОРМАЦИЯМИ В УСЛОВИЯХ ЦИКЛИЧЕСКОГО НАГРУЖЕНИЯ И СЛОЖНОГО НАПРЯЖЕННОГО СОСТОЯНИЯ

А.А. Максименко, С.Я. Куранков

Алтайский государственный технический университет. г. Барнаул

E-mail: sle@agtu.secna.ru

На основе структурной модели материала развивается расчетная методика описания диаграмм малоциклового деформирования при сложном напряженном состоянии, учитывающая деформационную анизотропию и циклическую нестабильность материала.

Оценка долговечности в условиях упругопластического деформирования при переменных напряжениях связана с решением двух задач. С одной стороны необходимо построить зависимости между напряжениями и деформациями для идентификации петель макропластического гистерезиса и длины пути одностороннего пластического деформирования. С другой стороны нужно рассчитать поврежденность на каждом этапе деформирования и определить число циклов, а иногда и длину пути пластического деформирования до момента полного разрушения. Обе задачи в настоящее время решаются достаточно удовлетворительно в случае линейного и сложного напряженного состояния. Но для таких условий как произвольный путь пластического деформирования, нестационарность напряжения ощущается недостаток как теоретических, так и экспериментальных данных.

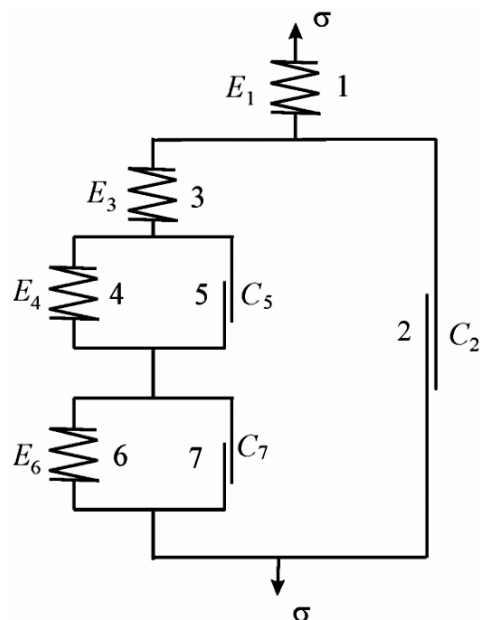


Рис. 1. Структурная модель материала

Одним из основных вопросов, возникающим при решении первой задачи в общей постановке, является вопрос об уравнениях механических состояний, описывающих связь между текущими значениями напряжений и деформаций в зависимости от режима нагружения. В работах [1–3], при отсутствии ползучести, такие уравнения получаются на основе струк-

турной модели материала, разработанной на кафедре сопротивления материалов СПбГПУ (рис. 1). По этой модели строится алгоритм расчета деформирования с учетом деформационной анизотропии, циклической нестабильности материала и одностороннего накопления пластических деформаций, как для одноосного, так и для сложного напряженного состояния и термомеханического нагружения. Экспериментальной базой для построения расчетных диаграмм циклического деформирования являются кривые деформирования, полученные при одноосном напряженном состоянии.

Из структурной модели выводятся уравнения механических состояний для расчета петли макропластического гистерезиса и односторонне накопленной пластической деформации. Параметрами модели являются коэффициенты жесткости упругих звеньев E_1, E_3, E_4, E_6 и предельные сопротивления проскальзыванию C_2, C_5, C_7 . Эти постоянные подбираются по диаграмме циклического деформирования в условиях циклического растяжения и сжатия (рис. 2). Наиболее полная диаграмма может быть получена при симметричном цикле изменения напряжения. Для определения значений параметров модели плавная кривая деформирования аппроксимируется с помощью ломанной, состоящей из трех прямолинейных участков. Указанные постоянные подбираются по ординатам и углу наклона этих участков и по формулам

$$E_4 = \frac{E_3 \cdot E'_4}{E_3 - E'_4}; \quad E_6 = \frac{E_3 \cdot E_4 \cdot E'_6}{E_3 \cdot E_4 - E_3 \cdot E'_6 - E_4 \cdot E'_6}.$$

Параметры модели определяются лишь после наработки нескольких циклов, в то время как диаграмма деформирования в нулевом полуцикле еще отвечает обычной диаграмме статического растяжения. Параметры модели имеют размерность напряжения. Усилия, деформирующие модель, соответствуют напряжению σ . Относительное смещение точек приложения этих усилий — деформации ϵ .

Из структурной модели следуют зависимости между напряжениями и пластическими деформациями в нулевом полуцикле нагружения. В интервале напряжения $C_2 < \sigma_i \leq (C_2 + C_3)$ появляется пластическая деформация звена 2, равная деформации звена 3, в то время как звенья 4–7 еще не работают. Эта деформация равна

$$e_{ij} = \frac{3}{2} \cdot \frac{s_{ij}}{\sigma_i} \cdot \frac{\sigma_i - C_2}{E_3}.$$

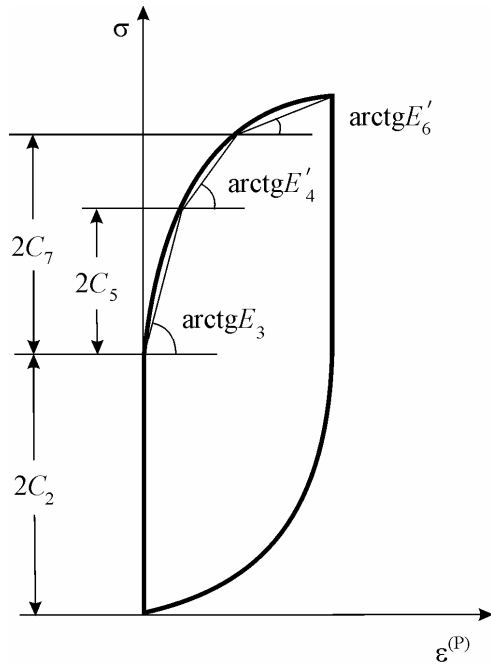


Рис. 2. Диаграмма циклического деформирования

Далее при $(C_2 + C_3) < \sigma_i \leq (C_2 + C_7)$ с дополнительным условием $C_7 > C_5$ в работу включаются звенья 4 и 5, причем

$$e_{ij} = \frac{3}{2} \cdot \frac{s_{ij}}{\sigma_i} \cdot \frac{\sigma_i - C_2}{E_3} + \frac{3}{2} \cdot \frac{s_{ij}}{\sigma_i} \cdot \frac{\sigma_i - C_2 - C_5}{E_4},$$

и, наконец, при $\sigma_i > (C_2 + C_7)$ работают все звенья

$$e_{ij} = \frac{3}{2} \cdot \frac{s_{ij}}{\sigma_i} \cdot \frac{\sigma_i - C_2}{E_3} + \frac{3}{2} \cdot \frac{s_{ij}}{\sigma_i} \cdot \frac{\sigma_i - C_2 - C_5}{E_4} + \frac{3}{2} \cdot \frac{s_{ij}}{\sigma_i} \cdot \frac{\sigma_i - C_2 - C_7}{E_6},$$

где s_{ij} — компоненты девиатора напряжений.

После прохождения максимального значения напряжения вся система из звеньев 2–7 сначала превращается в абсолютно твердое тело, а затем начинает деформироваться в обратном направлении.

Ход дальнейших расчетов в следующих полуциклах сводится к следующему. Для расчета обратных деформаций переходим к трем новым началам отсчета по соответствующей компоненте девиатора напряжений. С этой целью каждая компонента s_{ij} уменьшается на величины

$$s_{ij} = \frac{C_2}{\sigma_i}; \quad s_{ij} = \frac{C_2 + C_5}{\sigma_i}; \quad s_{ij} = \frac{C_2 + C_7}{\sigma_i},$$

соответственно (рис. 3).

Общее выражение для расчета компонентов девиатора деформаций получается таким [4]

– при $\sigma_i' > C_2$, но $\sigma_i'' \leq (C_2 + C_3)$

$$e_{ij} = \frac{3}{2} \cdot \frac{s_{ij}'}{\sigma_i'} \cdot \frac{\sigma_i' - C_2}{E_3},$$

– при $\sigma_i'' > (C_2 + C_3)$, но $\sigma_i''' \leq (C_2 + C_7)$

$$e_{ij} = \frac{3}{2} \cdot \frac{s_{ij}'}{\sigma_i'} \cdot \frac{\sigma_i' - C_2}{E_3} + \frac{3}{2} \cdot \frac{s_{ij}''}{\sigma_i''} \cdot \frac{\sigma_i'' - C_2 - C_5}{E_4},$$

– при $\sigma_i''' > (C_2 + C_7)$

$$e_{ij} = \frac{3}{2} \cdot \frac{s_{ij}'}{\sigma_i'} \cdot \frac{\sigma_i' - C_2}{E_3} + \frac{3}{2} \cdot \frac{s_{ij}''}{\sigma_i''} \cdot \frac{\sigma_i'' - C_2 - C_5}{E_4} + \frac{3}{2} \cdot \frac{s_{ij}'''}{\sigma_i'''} \cdot \frac{\sigma_i''' - C_2 - C_7}{E_6}.$$

Здесь $s_{ij}', s_{ij}'', s_{ij}''', \sigma_i', \sigma_i'', \sigma_i'''$ — компоненты девиатора напряжений и интенсивности, отсчитываемые от состояния разгрузки звеньев 2, 5 и 7 соответственно. Эти величины можно представить в виде

$$s_{ij}' = s_{ij} - \alpha_{ij}'^{(k)}; \quad s_{ij}'' = s_{ij} - \alpha_{ij}''^{(k)}; \quad s_{ij}''' = s_{ij} - \alpha_{ij}'''^{(k)};$$

$$\sigma_i' = \sqrt{\frac{3}{2} \sum (s_{ij}')^2}; \quad \sigma_i'' = \sqrt{\frac{3}{2} \sum (s_{ij}'')^2}; \quad \sigma_i''' = \sqrt{\frac{3}{2} \sum (s_{ij}''')^2},$$

где s_{ij} — компоненты девиатора напряжений, определяемые относительно исходной координаты; $\alpha_{ij}'^{(k)}, \alpha_{ij}''^{(k)}, \alpha_{ij}'''^{(k)}$ — ординаты новых начал отсчета (рис. 3) для k -ого полуцикла, откладываемые от исходной системы отсчета, находятся по формулам

$$\begin{aligned} \alpha_{ij}'^{(k)} &= \alpha_{ij}'^{(k-1)} + s_{ij}'^{(k-1)} \left(1 - \frac{C_2}{\sigma_i'} \right); \\ \alpha_{ij}''^{(k)} &= \alpha_{ij}''^{(k-1)} + s_{ij}''^{(k-1)} \left(1 - \frac{C_2 + C_5}{\sigma_i''} \right); \\ \alpha_{ij}'''^{(k)} &= \alpha_{ij}'''^{(k-1)} + s_{ij}'''^{(k-1)} \left(1 - \frac{C_2 + C_7}{\sigma_i'''} \right). \end{aligned} \quad (1)$$

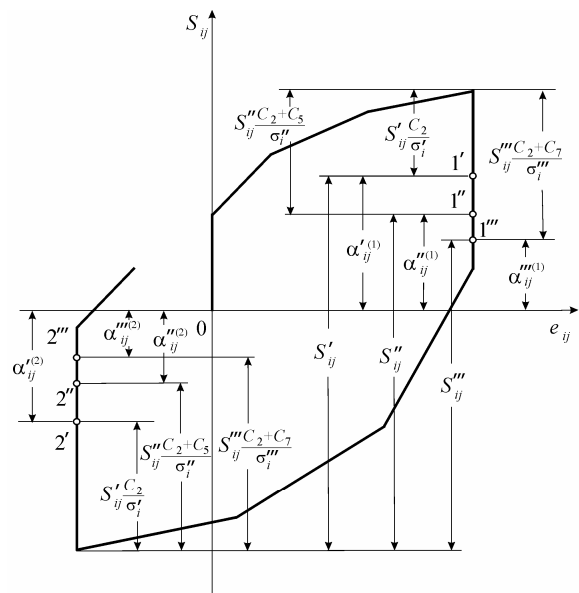


Рис. 3. Расчетная диаграмма циклического деформирования при сложном напряженном состоянии

Отметим, что для удобства вычислений направления отсчета деформаций и напряжений сохраняются всегда неизменными, так что при нагрузке в обратном направлении величины оказываются отрицательными. Это замечание существенно в связи с тем, что при построении обобщенных диаграмм

циклического деформирования направление отсчета деформаций в первом полуцикле меняется.

Данная методика позволяет строить диаграммы пластического деформирования для каждого компонента девиатора напряжений s_{ij} на основе исходной информации, полученной при испытании образцов на малоцикловую усталость при одноосном напряженном состоянии.

Для расчета и построения диаграмм циклического деформирования разработана программа для ПЭВМ.

В общем случае непропорционального нагружения весь путь разбивается на ряд участков, в пределах которых нагружение является пропорциональным. При переходе к каждому очередному участку в зависимости от значений σ'_i , σ''_i , σ'''_i производится разгрузка и определяются новые значения координат (1).

Для проверки и уточнения модели упругопластического деформирования материалов необходимо располагать набором экспериментальных данных, включающих в себя результаты базовых экспериментов, позволяющих определять параметры, входящие в соотношения модели и характеризующие материал. Как уже отмечалось, для нашей модели базовыми являются одноосные испытания на простое растяжение и циклическое растяжение-сжатие. Вместе с тем класс процессов деформирования, описываемый моделью, должен быть шире того, который охвачен базовыми опытами. Очевидно, требуемое количество и сложность этих опытов могут возрастать при необходимости описания все более и более сложных процессов деформирования материала.

Для апробации и установления границ применимости модели воспользуемся результатами серии экспериментов по исследованию упругопластического деформирования стали 45 [5]. Там же можно найти описание методики проведения испытаний, чертежи и технологию изготовления образцов.

Из сравнения теоретических расчетов по структурной модели пластичности с опытными данными по деформированию стали 45 можно сделать вывод о том, что эта модель пригодна, по крайней мере, для описания установившегося циклического деформирования материала при изменении нагрузки в фиксированных пределах, а также для расчетов по путям нагружения с монотонно меняющимися напряжениями. В случае периодического нагружения поведение материала однозначно определяется экспериментальными данными, заключенными в стационарной циклической диаграмме деформирования, в то время как при монотонном нагружении лучше пользоваться коэффициентами, полученными из диаграммы одноосного растяжения.

В заключении можно сделать следующий вывод о том, что рассматриваемая структурная модель пластичности удовлетворительно описывает деформации материалов, обладающих преимущественно кинематическим упрочнением в условиях циклического нагружения с ограниченными размахами напряжений. Однако для материалов с изотропно-кинематическим упрочнением модель с переменным коэффициентом C_2 дает более удовлетворительные результаты.

СПИСОК ЛИТЕРАТУРЫ

1. Пенкин А.Н. Малоцикловая усталость конструкционной стали при сложном напряженном состоянии: Автореф. дис. ... канд. техн. наук. — Л., 1985. — 16 с.
2. Раимбердиев Т.П. Малоцикловая усталость сталей при нестационарном термомеханическом нагружении и сложном напряженном состоянии: Автореф. дис. ... канд. техн. наук. — Л., 1988. — 16 с.
3. Павлов П.А. Основы инженерных расчетов элементов машин на усталость и длительную прочность. — Л.: Машиностроение, 1988. — 252 с.
4. Куранаков С.Я., Раимбердиев Т.П. Построение диаграмм малоциклового деформирования при сложном напряженном состоянии. — Барнаул, 2004. — 14 с. — Деп. в ВИНТИ 26.01.04, № 135-B2004.
5. Упругопластическое деформирование стали 45 при сложном нагружении / А.С. Вавакин, В.В. Виктор, А.Б. Мосолов и др. — М.: ИПМ АН СССР, 1988. — 36 с. — (Препр. / Ин-т проблем механики АН СССР; № 359).